MBE 法による T'-Pr2CuO4への Ca、Sr ドーピング

Doping of Ca, Sr in T'-Pr₂CuO₄ by MBE

農工大工¹ ○稲葉 颯人¹, 七尾 美子¹, 内藤 方夫¹

Tokyo Univ. of Agri. and Tech.¹ °Hayato Inaba¹, Yoshiko Nanao¹, Michio Naito¹

E-mail: s174016z@st.go.tuat.ac.jp

【初めに】前回の応物で、CaF2(001)基板上へ T'-Nd₂CuO₄ を薄膜成長させることで、還元 処理なしで $T_c \sim 32 \text{ K}$ の超伝導転移が見られ ることを報告した。但し、真空還元によりノ ンドープで超伝導化(Tc ~ 30 K)する薄膜に比 べ、c軸長が~0.05 Å程度長い。一般的に T' 銅酸化物は、CuO2面の頂点位置に入り込む 不純物酸素 O_{ap} を除去することで c 軸長が縮 み超伝導化することが知られているため、上 記の結果はこれに反している。CaF2上に作製 した T'銅酸化物薄膜の超伝導化の原因とし て、「O²の一部を Fに置換することによる電 子ドープ」、または「Pr³+の一部を Ca²+に置換 することによるホールドープ」の可能性が考 えられる。いずれが該当するかを追求するこ とを本実験の目的とした。

【実験】 $T'-Pr_2CuO_4$ 薄膜を、超高真空(~106 Pa)チャンバー内で分子線エピタキシー法により作製した。電子ドープの可能性を確かめる手段として、 CaF_2 基板の他に $SrF_2(001)$ 、 $BaF_2(001)$ 基板といった種々のフッ化物基板を用いた。ホールドープを確かめる手段としてはCaやSrを共蒸着し、Ca・Srドーピングを試みた。

【結果】Fig.1 より、CaF₂上の Pr₂CuO₄ は確 かに $T_c > 30 K$ の超伝導転移を示し、 Nd₂CuO₄の結果を再現した。しかしSrF₂上の 薄膜は T'単相であるにも関わらず超伝導を 示さなかった。このことは基板からの F 拡 散のみが超伝導化の原因であると考えにく い。Fig.2 はバルクの $Pr_{2-x}Sr_xCuO_4^{[1]}$ 、及び、 LaAlO₃(001) 基 板 上 に 成 長 さ せ た $Pr_{2-x}AE_xCuO_4$ 薄膜に対して、x を変えたとき 現れる phases を示したものである。薄膜に 着目すると、AE=Ca の場合は、T'相は保た れるが、AE = Sr の場合は x > 0.20 で T'相が 壊 れ 始 め 、 x > 0.50 で 高 抵 抗 な Pr₂SrCu₂O₆(2126相)が生成される。いずれの 場合も超伝導は示さなかった。この結果か ら、 RE^{3+} の一部を $Ca^{2+} \cdot Sr^{2+}$ 置換することに よるホールドープ超伝導の可能性は否定さ れる。CaF₂上のRE₂CuO₄の超伝導化はF拡 散だけでなく、フッ化物基板の大きな熱膨 張係数により、成長後の冷却過程で面内圧 縮歪みが印加されることも関係しているの ではないかと考えている。

[1] H.Y. Hwang et al, Physica C, **192**, (1992), 362-371

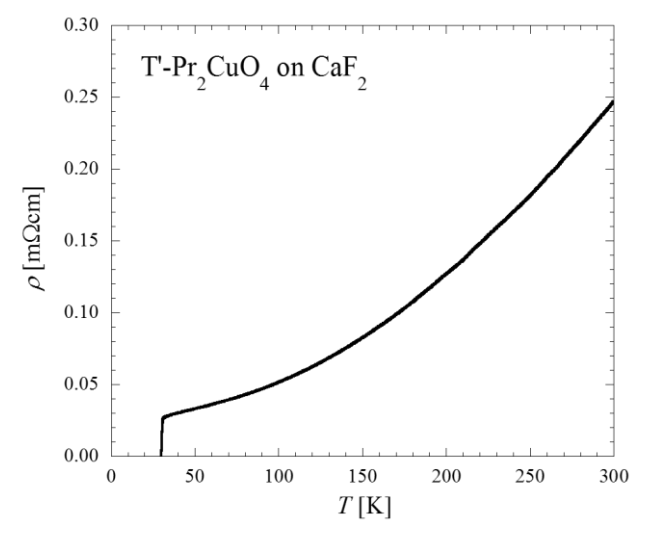


Fig.1 Temperature dependence of resistivity of the Pr₂CuO₄ thin films on CaF₂

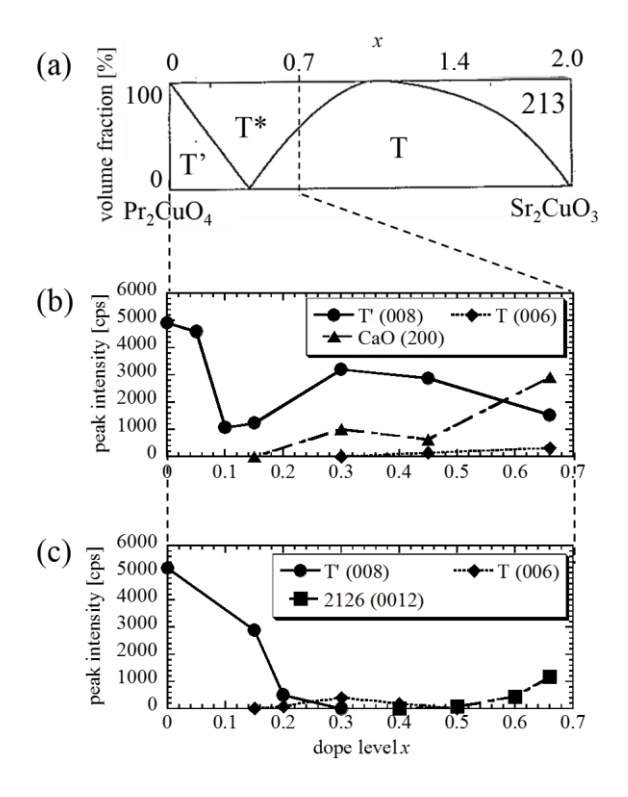


Fig.2 phase transition of $Pr_{2-x}AE_xCuO_4$; (a) AE = Sr, bulk^[1], (b) AE = Ca, thin films,(c) AE = Sr, thin films